

# 技術解説

# 分光分析概論 (その2)



Nanasato Tomomi

# 倉田 孝男\*1

## はじめに

前号の「分光分析概論(その1)」(1)では、光 の説明に始まり、分光分析の原理や種類などの基 本を解説した。今回は「分光分析概論(その2)| として、実験室で行われる分析と、現場計測への 適用例を、いくつか具体例を挙げて解説する。

# 2. 実験室での分析

実験室における分光分析は、一般に理化学機器 の分析装置を用いる。装置を設置する室内は温度 および湿度が最適な状態に維持され、振動も影響 しないように配慮されている。測定対象となるサ ンプルは、測定に最適な状態となるよう、形状の 調整、不純物の除去、最適な濃度への希釈・濃縮

などの前処理を施す場合がある。また、発色を促 すための試薬を添加することもある。装置の管理 と最適なサンプル調整に加え、測定条件も一定と なるよう厳密に制御されているため、測定の精度 および再現性は高い。

表1に、実験室で使用される代表的な分光分 析の一部を示す。また図1は、当社で稼働中の蛍 光 X 線分析装置、原子吸光分析装置、誘導結合プ ラズマ発光分光分析装置である(2)。

ここでは、実験室で用いられる代表的な分光 分析手法として、赤外分光法を紹介する。赤外分 光法を用いた装置は当社実験室でも稼働してお り、現場測定やオンライン分析へも広く活用され ている。

実験室における赤外吸収分析は、測定サンプル



蛍光 X 線分析装置 鳥津製作所製: XRF-1800



原子吸光分析装置 鳥津製作所製: AA-7000



誘導結合プラズマ発光分光分析装置 島津製作所製: ICPS-8100

図1 当社所有の分光分析装置

\*1:研究開発センター 研究管理グループ 主幹 \*2:研究開発センター 研究開発グループ 主査

#### 表 1 分光分析を利用する各種分析法の例

		分析方法 照射光	原理	用途
10nm	× * * * * * * * * * * * * * * * * * *	蛍光 X 線分析 (XRF) X 線	X線の照射により励起された内側電子の空位に、より外側の電子が遷移したときに発する固有 X線を測定する。	固体 (粉末)、溶液の定性分析 鉄鋼の定量分析
200nm 400nm	紫外線領域	電子分光分析 (XPS) 軟 X 線	X線を原子に照射したとき放射 される光電子のエネルギーを測 定する。	固体表面の元素組成や、化学結合 状態 (酸化状態など) の分析
	可視光領域	誘導結合プラズマ発光分光分析 (ICP-AES) 紫外光~可視光 (発光)	高周波放電 (ICP) に励起された原子の外側電子が低エネルギー状態へ遷移したときに発する光を測定する。	無機元素などの定量 (固体サンプルは液体へ前処理)
800nm	近赤外線領域	吸光光度分析 可視光	光の照射により生じた分子軌道 電子の励起に基づく吸収を測定 する。	液体の呈色試薬との反応における 無機、有機成分の定量分析 (固体サンプルは液体へ前処理)
3μm		原子吸光分析 (AAS) 紫外光~可視光 (吸収)	炎などで解離して生じた基底状態の原子の電子層に、同じ元素から放射された光を通すことで、光励起に基づく吸収を測定する。	金属元素などの定量 (固体サンプルは液体へ前処理)
10μm ——–	中赤外線領域   遠赤	ラマン分光分析 可視光~近赤外光	レーザー光を照射し、分子振動 のうち分極率の変化を起こすも のに起因して入射光が受ける波 長変化 (ラマン散乱) を測定する。	液体、固体、気体の有機官能基の 定性 高分子物質、有機物の同定 水溶液系の分析
300μm	遠赤外線領域   電波	フーリエ変換赤外分光分析 (FTIR) 赤外光	赤外光を照射し分子振動のうち 双極子モーメントの変化を起こす 振動に起因する吸収を測定する。	液体、固体、気体の有機官能基の 定性 高分子物質、有機物の同定

に赤外光を照射し、分子振動のうち双極子モーメ ントの変化を伴う振動に起因する赤外線の吸収を 測定する手法である。有機化合物は赤外領域に特 有の振動スペクトルを持つため、赤外吸収波数を 調べることで官能基や構造の定性分析が可能とな る。また、吸収強度の測定によって定量分析も行 うことができる。 得られる赤外吸収スペクトル(以 下、スペクトル) は物質固有の特徴を示し、人間 の指紋のように個々の化合物を識別することがで きる。スペクトルの波長および強度の情報を解析 することで、物質の構造や成分を詳細に把握する ことができるため、類似化合物の判別や高分子物 質の分析など、多岐にわたる分野で利用されてい る。赤外吸収法は、特に有機物分析において代表 的な機器分析法である。

図2は当社で活躍中のフーリエ変換赤外分光 分析装置(Fourier Transform Infrared Spectroscopy) (以下、FTIR) である。

FTIR (フーリエ変換赤外分光法) は、赤外吸 収分析の一種であり、サンプルに赤外光を照射し て得られた干渉パターン (インターフェログラム) をフーリエ変換によってスペクトルに変換する手 法である。この方法は、従来の分散型分光法と比 べて短時間で高感度・高分解能な測定が可能であ り、得られたスペクトルを用いて官能基(有機化 合物分子の中で性質を特徴づける部分) の同定や



実験室における分光分析では、 測定に最適な条件になるように、 サンプルの前処理や装置調整が 行われている。



(日本分光製)

(a) IRT-5200 赤外顕微分光光度計 (b) FT/IR-6600 赤外分光光度計 (日本分光製)

図2 実験室における分光分析装置 (FTIR)

分子構造解析、定性・定量分析が行われる。FTIR は、有機化合物や高分子材料の分析、品質管理、 異物判別など、さまざまな分野で重要な分析法と して利用されている。

当社における測定対象は、潤滑油、グリース、 ゴム、プラスチックが多い。機械の異材噛み込み や配管内の異物など、不具合の原因となる物質が、 汚染されたまま持ち込まれることもある。そのた め、洗浄、抽出、乾燥、粉砕、切断など、サンプ ル状態に応じた前処理が必要となる。

測定方法には、透過法、反射法、ATR法(全 反射測定法)があり、サンプルの形状に応じて最 適な方法を選択する。測定方法の原理については 前号(1)を参照されたい。代表的なサンプル調整 方法として、粉末の場合は KBr 錠剤法(臭化力 リウムと混合し、圧縮して錠剤として分析する方 法)、潤滑油など粘性のある液体は溶液法が適用 される。微小な破片については、ATR 法によりサ ンプル調整を行わずに測定できる場合もある。

化合物の同定は、FTIR で取得したスペクトル をスペクトルライブラリで検索・解析し、ピーク の位置や形状から物質を特定する。必要に応じて 比較対象物質を入手し、そのスペクトルと比較し て判定する。この際、サンプルの含有元素情報は

重要であるため、SEM-EDS(エネルギー分散型 X線分光法) や蛍光 X線分析による定性・半定量 分析など、ほかの分析手法を用いて含有元素を特 定し、化合物同定の参考とする(3)。

実験室にはほかにも各種理化学機器の分析装置 が設置されており、それらを活用して必要な情報 を得ることができる。複数の分析結果を総合して 判定材料とすることで、解析精度をさらに高めるこ とができる点は、実験室分析の大きな強みである。

# 3. 現場計測

次に、分光分析技術の現場やオンラインでの計 測への適用例をいくつか紹介する。

数ある現場計測法の中で、光を利用する分光分 析が優れている点を以下に述べる。

- ① 非破壊、非接触で計測できる
- ② 光は遠方まで届くため、遠隔・広範囲の 計測ができる
- ③ 光は走査(照射方向を動かすこと)が容 易なので、計測したい箇所を自由に設定 できる
- ④ 走査性を利用すれば、点だけでなく面の 計測への展開が容易
- ⑤ 計測時間が短く、前処理が不要な場合が 多い

- ⑥ 計測結果をリアルタイムで出力できる
- ⑦ 連続計測ができるため、装置の状態監視 や運転制御に利用できる
- 一方現場計測する上で不利な点もある。
- ① 精密な光学機器を使用するため、振動や 湿度などに弱い
- ② 環境変動の影響で計測条件を一定にでき ず、安定した結果が得られない場合がある
- ③ 環境中にはさまざまな光源があるため、 周囲から妨害信号が混入しやすい

ここに挙げた問題点は、近年装置の小型化と堅 牢化、ソフト面におけるデータ処理技術や解析技 術の発展、コンピューターの高度化によるノイズ 除去や環境条件変動補正の実現により、解決され つつある。さらに、近年の AI 技術は問題解決を 大いに早め、シミュレーション技術の高度化、高 速化で、分光分析の利点を生かした高度な計測を 実現すると期待される。

今後の高度化への期待を踏まえ、本稿では、過 去約30年の分光分析装置の開発例をいくつか紹 介する。

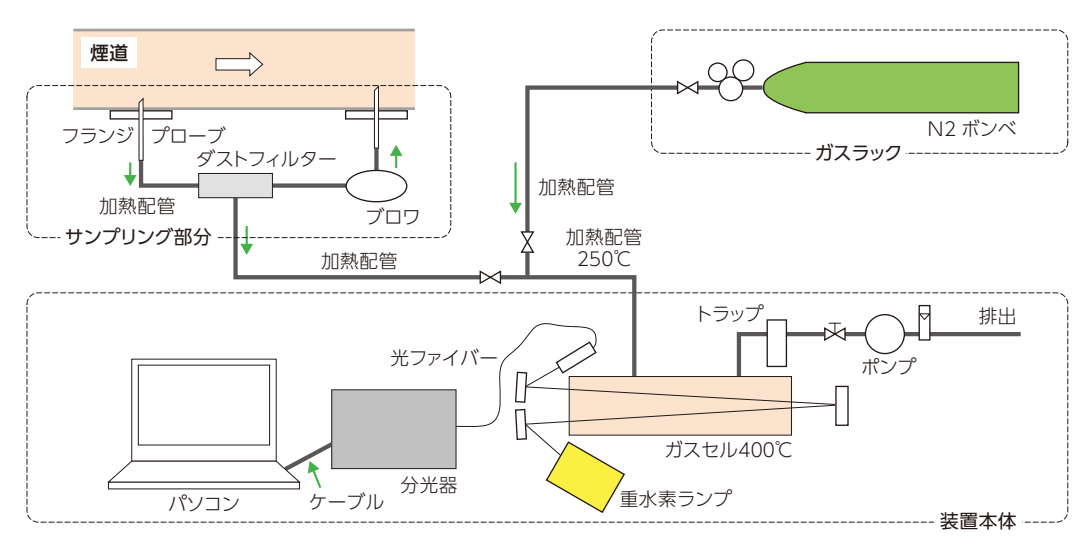


図3 SO3分析計のシステム構成図(4)

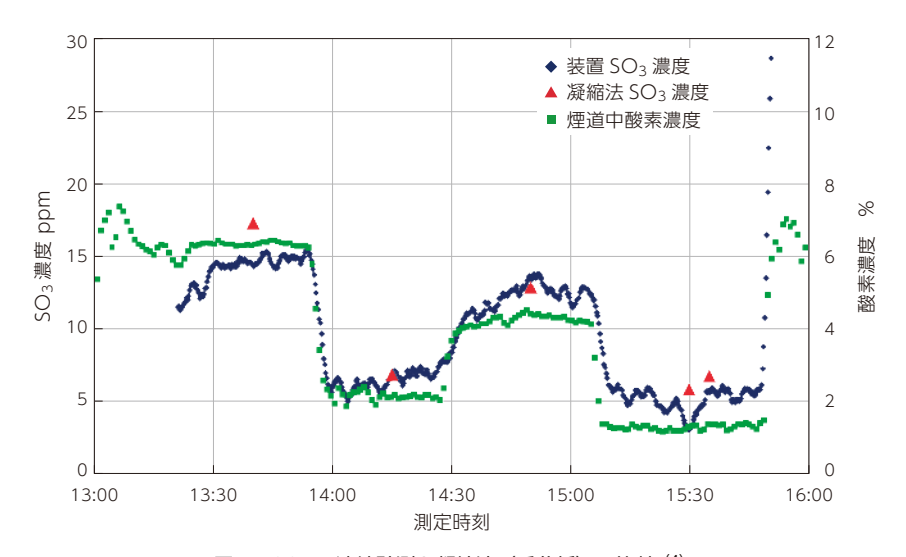


図 4 SO<sub>3</sub> の連続計測と凝縮法 (手分析) の比較 (4)

### 3.1 ボイラ煙道ガス濃度計測

ボイラ煙道中のガス濃度は、煙道からガスをサ ンプリングして実験室に持ち帰り、セルの中にガ スを入れ、一定条件で計測すれば正確な結果が得 られる。しかし結果が出るのは数日後となり、タ イムリーに運転条件に反映できない。また、運転 と異なる環境では変化する物質は、持ち帰ること 自体が不可能であるため、現場計測が求められる。

図3は2000年頃に開発されたSO3(三酸化 硫黄) 連続分析計のシステム構成図である (4)。

ガスを中和する添加ガス量の制御のために、リ アルタイムの計測結果出力が求められ、かつ SO3 は350℃以上でないと存在しないガスであり実験 室に持ち帰ることができないため、分光計を現地 に据え付けて、煙道からサンプリングしたガスを 400℃に調節したガスセルに入れて計測するシス テムを構築した。

図4は、高硫黄分重油焚商用ボイラで実測し たSO3濃度の連続計測結果の一例である。SO3 濃度と相関関係があるとされる酸素(O<sub>2</sub>)濃度 の変動と同じタイミングで変化していることが確 認でき、リアルタイム計測が実現していることが わかった。また、凝縮法という精度の高い分析の 結果(図4中に赤い三角形でプロット)と比較し ても濃度がほぼ同等であり本システムが精度面で も問題がないことが確認された。

図3はガスを取り出して分光分析の手法で濃 度を測定した例であるが、図5は商用ボイラの 煙道中にレーザー光を通し、煙道中のガスを直接

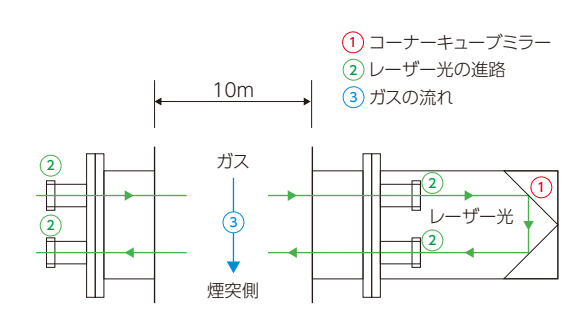
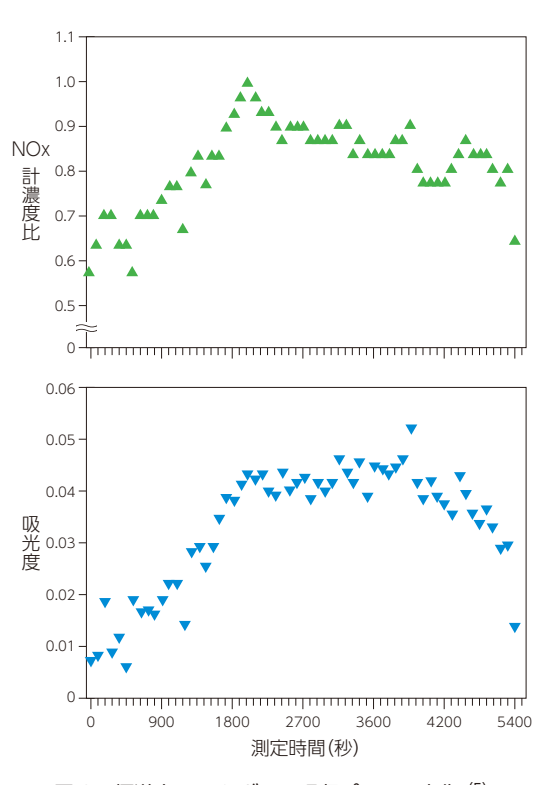


図5 煙道中の直接計測 (5)

計測するシステムの例である (5)。 **図 5** に示すよ うに、煙道の両端に光入口と出口の窓をつけて、 幅 10m の煙道にレーザー光を往復させガス中を 透過することによる光強度の減少率からガスの濃 度を求めるものである。図6は窒素酸化物(NOx) 量変化の大きいボイラのシャットダウン中に、本 手法で煙道中の一酸化窒素(NO)ガスの濃度を 計測した例である。上のグラフは既存計器による NOx 濃度、下のグラフが本手法による NO の吸 収ピークの大きさの変化を示している。濃度変化 の傾向が同一であり、計測が可能であることがわ かった。

さらにレーザー光の波長を変えることにより、 二酸化硫黄 (SO<sub>2</sub>)、一酸化炭素 (CO)、アンモ ニアガス(NH3)を計測可能なことも確認して いる。

分光分析を用いたボイラ煙道中のガス分析は、 現在はあまり行われていないが、この技術はさま ざまな排ガス分析への展開が進められている。



煙道中のNOガスの吸収ピークの変化(5)

#### 3.2 プラスチック識別

ガス分析以外のオンライン計測の例として、図7 に 1998 年に開発したプラスチック選別装置の例 を示す(6)。現在もプラスチックボトルの選別は 近赤外線領域の分光技術を用いるものが主流であ るが、この装置は日本での先駆けとして、当時開 発されたばかりの近赤外線領域の二次元アレイ分 光器を使用した。

図は、コンベア上に流れるプラスチックボトル の識別の様子を模式的に示したものである。この 装置は、データ処理に主成分分析法(特徴となる 指標を2~3個選び、縦横軸にプロットして分析

する方法)を使い、マハラノビス距離(データの ばらつきや関係性を考慮した統計学上の距離)を 用いた判別分析でプラスチックの種別を識別した。

化学データを数学や統計の手法で解析し、意味 ある情報を取り出すことを「ケモメトリックス」 と称し、当時は新しい考え方であったが、現在は 広く発展・応用されており、現代の AI による解 析技術にもつながっている。

#### 3.3 レーザー光による広域計測

光は非接触で遠方まで届くので、遠隔計測が期 待される。しかし一般の照明は、光源から 360° に出射されて広がり、距離が大きくなるほど距離

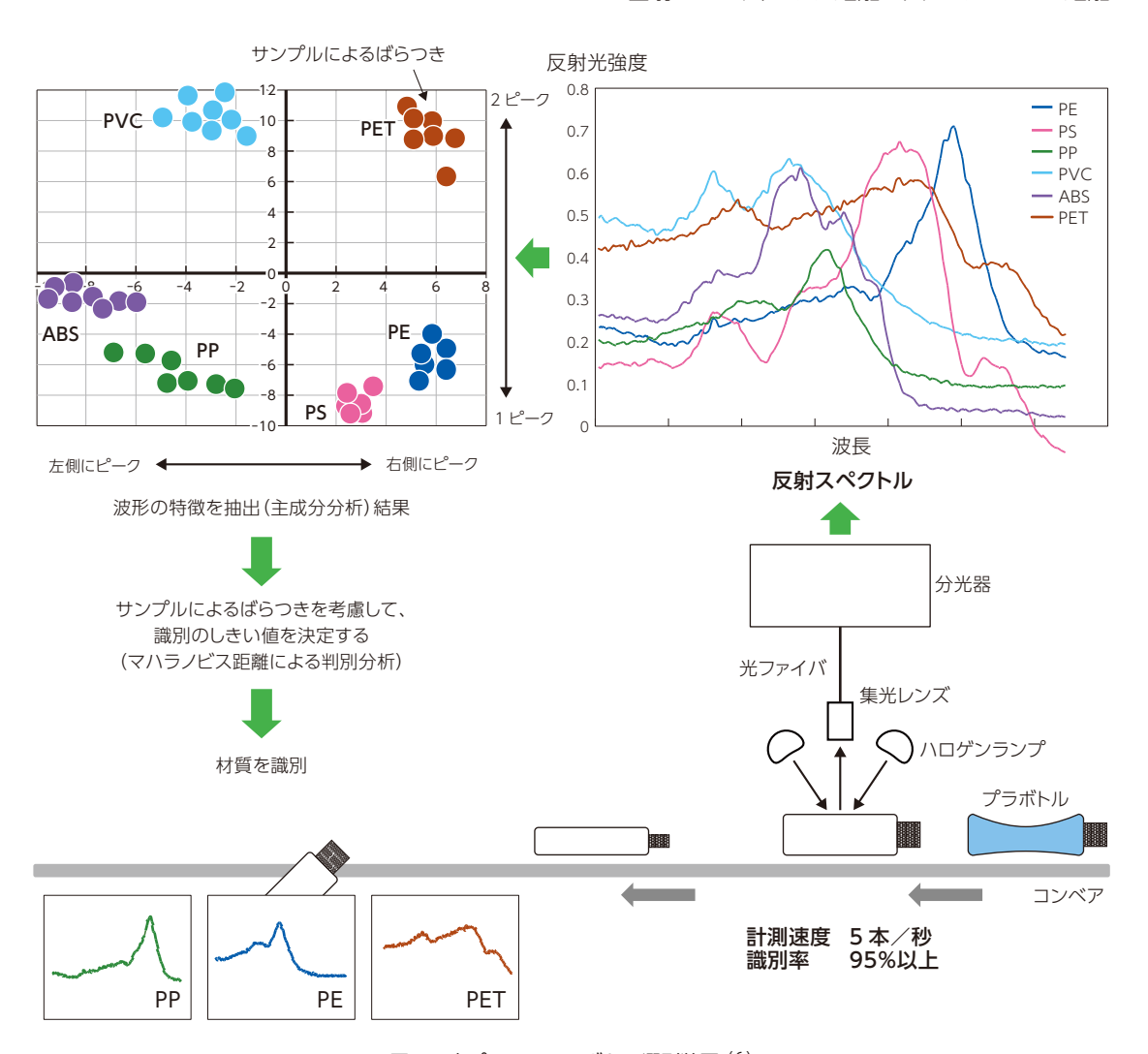


図7 廃プラスチックボトル選別装置(6)

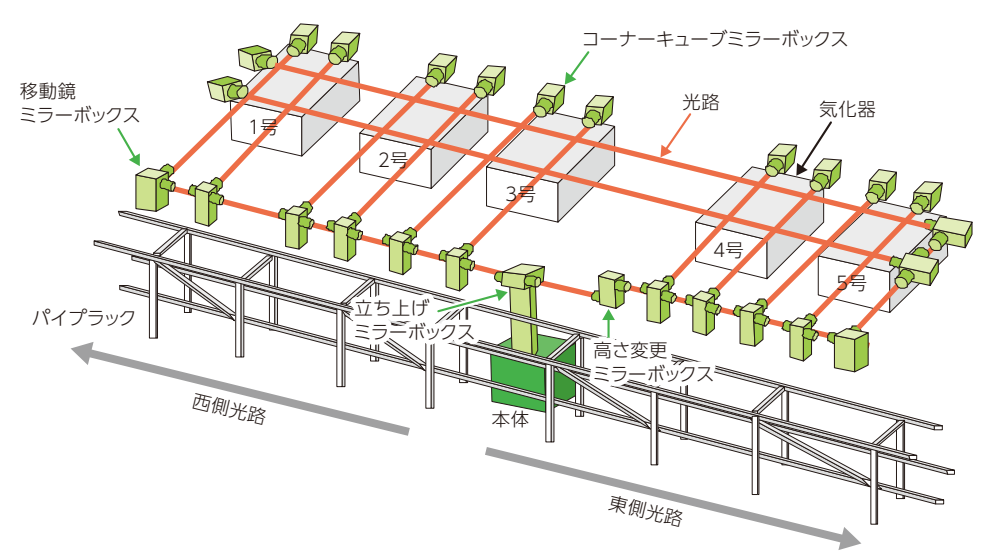
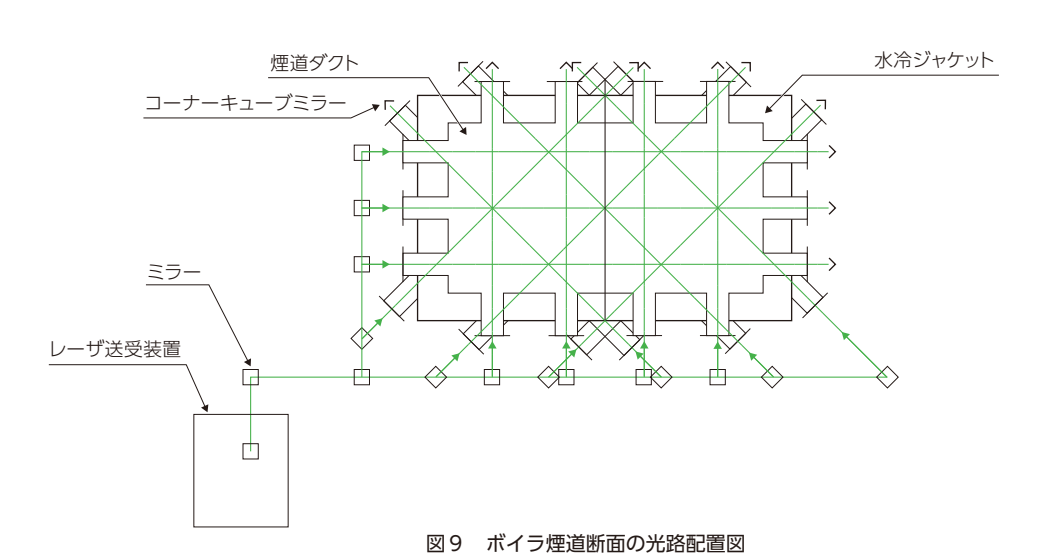


図8 LNG 漏洩監視システム 光路配置図 (7)



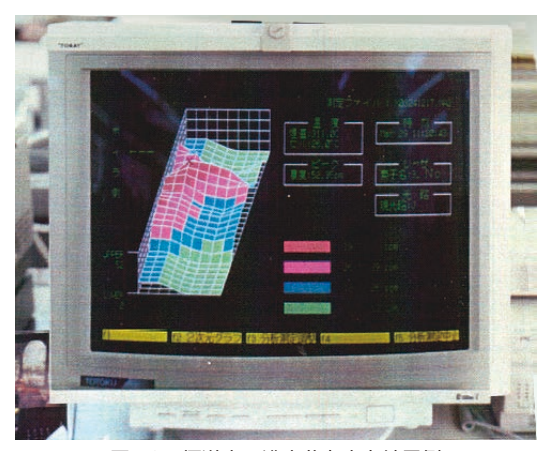


図 10 煙道内の濃度分布出力結果例

の2乗に反比例して強度が下がる。そのため、遠 距離では光の強度が不足し計測は困難となる。一 方、レーザー光は、ほとんど広がらずに光源から 一方向に進み、距離による強度低下もごくわずか である。そのため、遠隔・広域の分光分析にはレー ザー光が適しており、さまざまな装置が開発され てきた。

図8にLNG(液化天然ガス)を用いた火力発 電所のLNG漏洩監視システムの一例を示す(6)(7)。 このシステムは、LNG 気化器(-162℃の液化 天然ガスを常温で気体の天然ガスにする設備)

近傍の漏洩を監視するものである。LNG の主成 分であるメタンの吸収波長にチューニングした 非常に弱い赤外線レーザー光を LNG の監視エ リアに飛ばし、対向側に設置したミラーに反射 させて戻ってきた光を受光する。この発光/受 光を格子状に光路配置することで、監視エリア 内の漏洩を網羅的に検知するとともに、漏洩の 概略位置が特定できるシステムである。ここで、 レーザー光の出力を微弱とするのは、長期モニ タリングを想定し、その安定性と安全性を考慮 しているためである。

ここで紹介したのは LNG での実証例であるが、 レーザー光の波長を変えれば、さまざまなガス 検知への適用が可能である。例えば、カーボンフ リー燃料として今後利用が進むと思われるアンモ ニア (NH<sub>3</sub>) に対しても、その吸収に波長を合わ せれば、NH3漏洩検知システムとなる。

また、3.1 項で述べたボイラ煙道の計測に対し ても、断面に図9のように光路を配置して、煙 道中の NO、CO などの濃度分布の計測も試みら れており、実証試験炉での試験では、図10のよ うな出力が得られた。このように、図8に示す LNG 気化器近辺のような屋外の広い範囲での監 視のみならず、煙道中のような流れを有する閉鎖 空間内の計測にも適用できる。

## 3.4 レーザー光による広域計測 -高強度レーザー光による散乱光利用-

3.3 項の二つの例は、レーザー光が弱いため、 ミラーを用いて反射光を「戻り光」として用いた。 しかしレーザーパワーを上げると、固体面に当て た散乱光を戻り光として利用することができ、ミ ラーが不要となる。計測場所が固定された常時監 視ではなく、計測エリアを任意に変更したい場合 にはこの手法が有効である。

高強度レーザー光を用いた例として、CO2モニ タリングシステムを挙げる図 11 に示す (8)。図 11 のようにレーザー光を走査させ、土壌からの散乱 光を「戻り光」として受光することで、土壌から 発生するCO2濃度マップを作成することができる。

さらに強いレーザー光を使えば、図12に示 すように、大気中の散乱物質の反射(散乱)を使っ た光路中のガス濃度計測も可能となる。この方 式では散乱させるための固体は必要がないため、 例えば海上のガス検知にも利用できる。図13は、 海中からのメタンガスリークを監視するため考 案された、海上広域モニタリングシステム (9) の 例である。このシステムでは、レーザー光を周 回させ、360°方向の濃度マップを作成すること ができる。

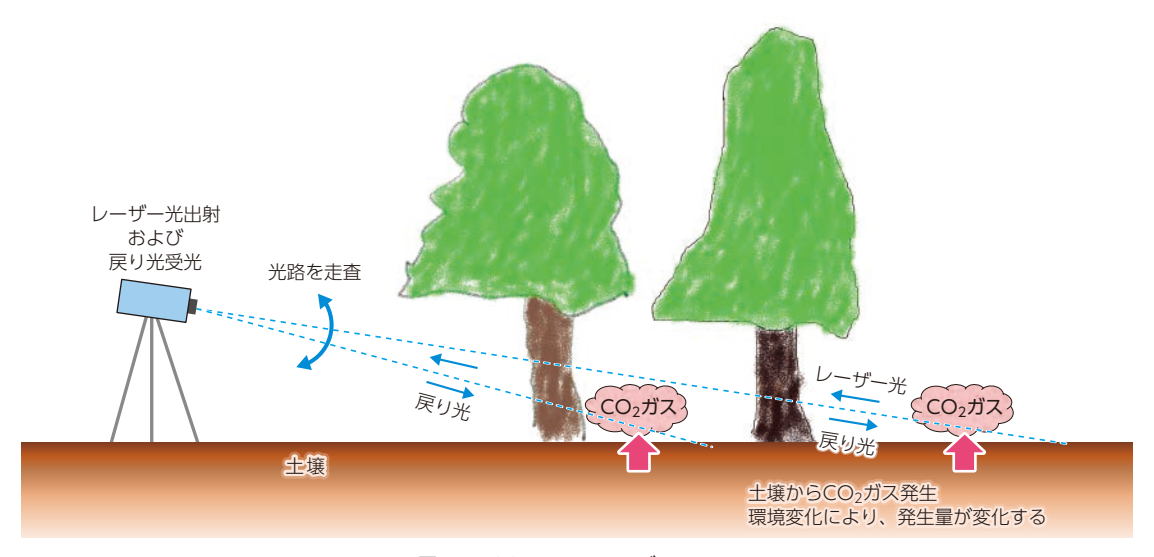


図 11 CO<sub>2</sub> モニタリングシステム

ここまで説明したレーザー光を用いた計測は、 光の吸収を利用した「吸光分析」であるが、蛍光 や LIBS などの 「発光分析」を利用する方法もある。 (吸光分析と発光分析の違いについては前号(1) で解説。)

吸光分析は薄く広がったガスなどの計測に向 いているのに対し、着目物質の発光現象を利用す る発光分析は、特定の高濃度部分を検知するのに 向いている。発光分析を利用した事例としては、

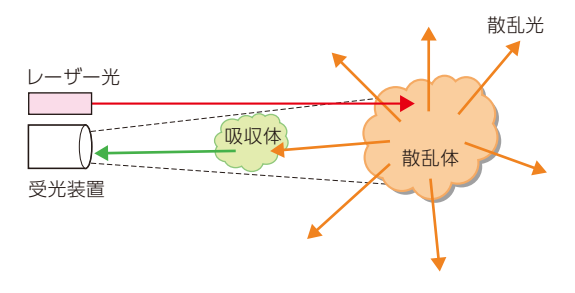


図 12 大気中の散乱体に反射させる レーザーレーダーの原理(9)

エアロゾルの計測(10)やセシウムの検出(11)など があるが、詳細は割愛する。

#### 3.5 ハイパースペクトルカメラ

分光分析結果を「面」で表す場合、点を並べ てマップ化する方法がある。これを、カメラで写 真を撮影するようなさらに細かい分割で、かつ一 度に計測ができる分光器として開発されたのがハ イパースペクトルカメラ (HPC: Hyper Spectral Camera) である。ハイパースペクトルカメラで は、図14に示すように、1 画素ごとに十数から 数千種の波長情報を取得する。そのため、保存さ れるデータは、画素の位置である「縦」「横」に加え、 3次元目の「波長」の情報を持ち、その配列は 「キューブ」と呼ばれる形式で保存される。この データを用いれば、一画素ごとに、分光スペクト ルの解析、例えば、色、対象物質の濃度計算など ができるので、ディスプレイ上に高精度なマップ として表示できる。

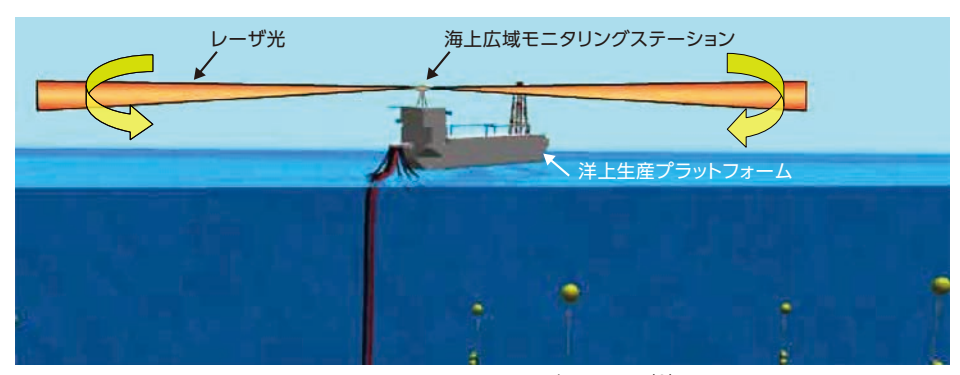


図 13 海上広域モニタリングシステム (9)

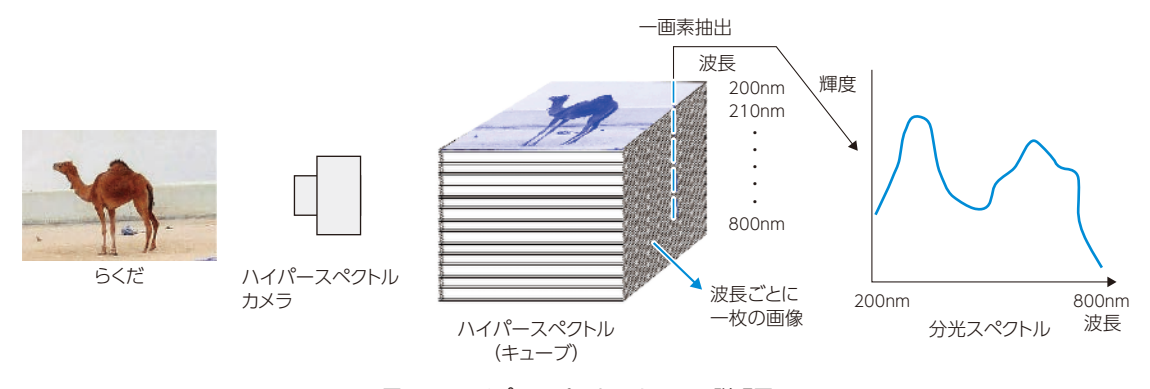


図 14 ハイパースペクトルカメラの説明図

ハイパースペクトルカメラは開発段階であり、価格 も高額なため、現在は限定された分野での研究に とどまるが、分光分析を利用するさまざまな計測 において、結果の精度向上や詳細化などが実現で きるため、装置の小型化や低価格化が待たれる。

最後に、ハイパースペクトルだからこそ実現し た『異物検知』を紹介する。

人の目や通常のカメラでは色と形で物体を識別 するが、色で見分けがつかない場合には識別が困 難である。目には同じに見える色でも、分光スペ クトルは異なっている場合も多く、ハイパースペ クトルカメラでは識別できる可能性がある。一例 として、図15は迷彩服を着て草陰に隠れた人物 を抽出したハイパースペクトルの出力である(12)。 迷彩服を着た人物は、目視では周りの草木と見分 けがつかないが、自然の緑と迷彩服のスペクトル は若干異なっているため、分光スペクトルで識別 できる。

## 4. 分光分析結果の解析

#### 4.1 スペクトルの解析と AI 技術

分光分析は、光を分光して得られた分光スペク トルから、対象物の種類を識別(定性分析)し、 量や濃度を求める(定量分析)。これは、対象物 によってスペクトルの形が変わること、また、量



一般的なカメラ

によってスペクトルの大きさが変わることを利用 している。

つまり、例えば材質 A を識別したい場合、ス ペクトルがどのような形であったら材質 A である かを事前に記憶し、これと比較することで定性分 析を行い、材質 A にある固有な吸収波長の吸収の 度合いから定量分析を行う。

しかし、妨害物質、すなわち同じエリアに存在 するほかの物質も同じ波長に吸収があると、着目 物質に対して正確な判断ができなくなる。そこで、 固有の吸収波長にだけ着目するのではなく、スペ クトルの全域の形から、識別する手法が考えられ た。対象物と妨害物質との混合をさまざまに変え て計測し、蓄積した結果をデータベースとして保 有、計測スペクトルとデータベースを比較するこ とでモデル式を作り、対象物の有無や濃度などを 解析してきた。妨害物質の除去が困難である現場 計測では、特にこの解析技術が必要である。

ただし、環境が大きく変わると、その都度環境 に応じたデータベースが必要になる。またデータ ベースは装置ごとに固有のものとなり、装置を更 新すると一からデータベースを構築し直す必要が ある。データベース作成は大きな労力・コストが かかるので、過去に作成したデータベースを補正 して利用する方法の開発が待たれる。

なお、実際に計測して蓄積したデータを「学習



ハイパースペクトルカメラ

図 15 ハイパースペクトルカメラによる草陰に隠れた人物 (12)

データ」、データと実測の比較のモデル式は「学 習モデルーとなるため、AI 技術との親和性が高い。 今後 AI 技術を利用することで、スペクトル解析 技術が飛躍的に向上するものと期待する。

#### 4.2 スペクトルの解析とシミュレーション

一方、理論式と実験式などから現象を推測する シミュレーション技術の進展も著しい。

例えば、図9に示すLNG 漏洩監視システムで 計測できるのは、各光路中のガス量、あるいは 光路配置面の濃度分布までであるが、本来知りた いのは、漏洩位置と漏洩量である。そこで、分光 分析結果をもとに、不明点をシミュレーションで 補完すれば、漏洩位置・漏洩量をより正確に推 定するシステムを構築できる。近年はコンピュー ターの性能が向上し、複雑なシミュレーションを より高速に実行できるため、分光技術を利用し たリアルタイム監視が幅広く普及していくものと 考える。

# 5. さいごに

2回にわたって分光分析について記述した。(そ の1)では、分光分析の原理について、「見る」 という視点から分光分析の方式とその種類につい て解説した。(その2)では、実験室と現場計測 について実際の活用例を紹介した。

分光分析は「検査・計測」に欠かせない技術で ある。これまで、ノイズの多い現場計測を可能に するため、さまざまな解析技術が考案されてきた。 一方、データベースを使ったモデル化の技術、シ ミュレーションを使った推測の技術が近年では急 速に発展している。これらの技術と分光分析の技 術を組み合わせることで、より「安心・安全」で 便利な社会が築かれることを夢見ている。

#### 参考文献

- (1) 倉田孝男、七里智美:分光分析概論(その1)、 IIC REVIEW, No.73, 2025/04, pp.3-15
- (2) 田中誠之、飯田芳男:機器分析(三訂版)裳華房
- (3) 泉美治、小川雅彌、加藤俊二、塩川二朗、芝哲夫監修: 機器分析のてびき 1・3 (第2版) 化学同人社
- (4) 倉田孝男、伊澤淳、草間滋、鈴木孝平:SO3連続 分析計の開発、石川島播磨技報、Vol.43、No.2、 2003/3, pp.52-57
- (5) 雑賀幹人、小松原彰、三谷茂樹、矢嶋史朗、近藤武一、 居橋 渉:波長可変半導体レーザーを利用した煙道内 ガス分析装置、第16回レーザセンシングシンポジウ ム予稿集、1993/06、pp.173-174
- (6) 倉田孝男:分光分析の現場計測への応用、 IIC REVIEW, No.34, 2005/05, pp.39-44
- (7) 草葉義夫、剣持庸一、倉田孝男、矢島史郎、近藤武一、 山口文彦、森眞二、和栗利春、雑賀幹人、三谷茂樹:レー ザーを用いた LNG 漏洩監視システムの開発、石川島播 磨技報、第32巻、第6号、1992/11、pp.467-472
- (8) 伊澤 淳、倉田 孝男、馬場 隼也、間野 正美、犬伏 和之: 広帯域赤外 OPO を用いた実森林内での CO2 濃度変 動の検知能力、レーザー学会学術講演会第37回年次 大会講演予稿集、2017/1
- (9) 澤田信一、田中浩一郎、倉田孝男:メタンハイドレー ド資源開発の研究ー環境モニタリング技術、月刊海洋 特集号、2008/03
- (10) 伊澤淳、横澤剛、倉田孝男、松永易、染川智弘、眞子 直弘、久世宏明:フェムト秒レーザによる多光子吸収 過程を用いた生物由来エアロゾルの遠隔検知、第31 回レーザーセンシングシンポジウム予稿集 2013/09、 pp.86-87
- (11) 藤井隆, 伊澤淳, 倉田孝男, 横澤剛, 江藤修三:フェ ムト秒レーザーを用いたレーザー誘起ブレイクダウン 分光によるセシウムエアロゾルの遠隔検知、第33回 レーザーセンシングシンポジウム予稿集 2015/09、 pp.46-47
- (12) 株式会社 IHI、倉田孝男、伊澤淳、三代周:探索方法 及び探索システム、特許第6834560号(2021/2/8 登録) 2021/2/24



研究開発センター 研究管理グループ 往车 倉田 孝男

TEL 045-791-3522



研究開発センター 研究開発グループ 主査 七里 智美

TEL 045-791-3522